



violazione di CP nei B^0

CP è violata solo nei K^0 ?

- Nel 1964 viene scoperta la violazione di CP nel mescolamento dei K neutri (si invoca un'interazione debole superweak che interviene nelle transizioni con $\Delta S=2$).
- La violazione diretta di CP ($\Delta S=1$) viene verificata sperimentalmente solo 30 anni dopo.
- Nel 1973 K. e M. ipotizzano una matrice di mescolamento di 3 famiglie di quark per introdurre la violazione di CP nel Modello Standard attraverso una fase presente nella matrice
- Nel 1974 viene scoperto il quark c e nel 1977 il quark b
- Negli anni 80 inizia la ricerca del mescolamento (mixing) di mesoni neutri contenenti il quark b
- fine anni 90 inizia la ricerca della violazione di CP nei B^0 .

Mixing di mesoni neutri

- Oltre ai K^0 , altri mesoni neutri possono “mescolarsi”

	u	c	t		d	s	b
\bar{u}	×	D^0	◊		×	K^0	B^0
\bar{c}	$\overline{D^0}$	×	◊		$\overline{K^0}$	×	B_s
\bar{t}	◊	◊	×		$\overline{B^0}$	$\overline{B_s}$	×

- Need to be neutral and have distinct anti-particle (x)
- Needs to have a non-zero lifetime
 - top is so heavy, it decays long before it can even form a meson (◊)
- That leaves four distinct cases...

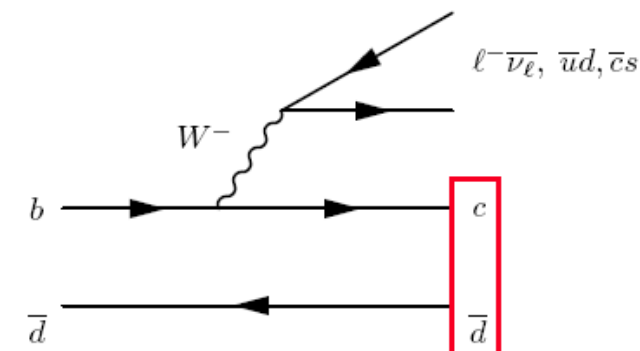
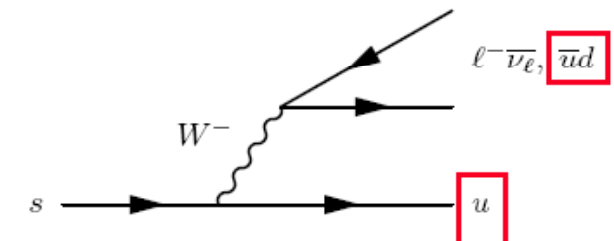
Mixing: Kaons vs. B mesons

- The difference between K mixing and ‘the rest’: Γ_{12}

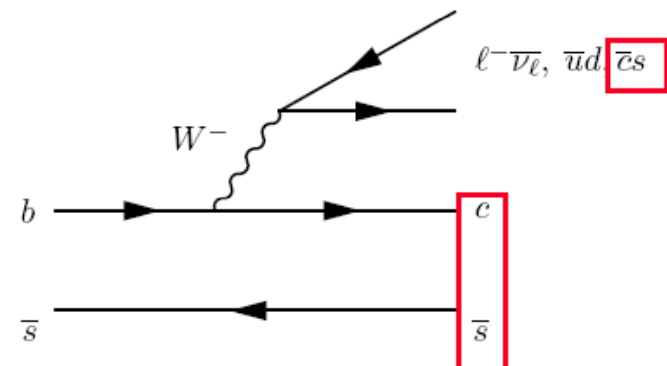
$$\Gamma_{12} = \Gamma_1 - \Gamma_2$$

- A large fraction of Kaon decays produce CP eigenstates:

- all decays *without* leptons are CP eigenstates..
- the CP even ones have more phase-space
- Hence the lifetime difference (large Γ_{12} !)



- For B^0 , (and, to a somewhat lesser extent, B_s), the dominant decays are *not* CP eigenstates
 - hence $\Delta\Gamma=0$ (smallish), and Γ_{12} does *not* contribute to B^0 mixing
 - note: as a result labeling eigenstates as ‘S’hort and ‘L’ong doesn’t make sense -- hence the ‘H’eavy and ‘L’ight



Dominant decay amplitudes

Solving the Schrödinger Equation

$$i\frac{\partial}{\partial t}\psi(t) = \begin{pmatrix} M - \frac{i}{2}\Gamma & M_{12} - \frac{i}{2}\Gamma_{12} \\ M_{12}^* - \frac{i}{2}\Gamma_{12}^* & M - \frac{i}{2}\Gamma \end{pmatrix} \psi(t)$$

Solution (in terms of eigenvectors):

$$\psi(t) = a |B_H(t)\rangle + b |B_L(t)\rangle$$

(a and b determined by initial conditions)

Eigenvectors:

$$|B_H\rangle = p|B\rangle + q|\bar{B}\rangle$$

$$|B_L\rangle = p|B\rangle - q|\bar{B}\rangle$$

Evolution of eigenvectors:

$$|B_H(t)\rangle = |B_H\rangle e^{-i(M + \frac{1}{2}\Delta m - \frac{i}{2}(\Gamma - \Delta\Gamma))t}$$

$$|B_L(t)\rangle = |B_L\rangle e^{-i(M - \frac{1}{2}\Delta m + \frac{i}{2}(\Gamma + \Delta\Gamma))t}$$

From the eigenvector calculation:

$$\frac{q}{p} = \sqrt{\frac{M_{12}^* - \frac{i}{2}\Gamma_{12}^*}{M_{12} - \frac{i}{2}\Gamma_{12}}}$$

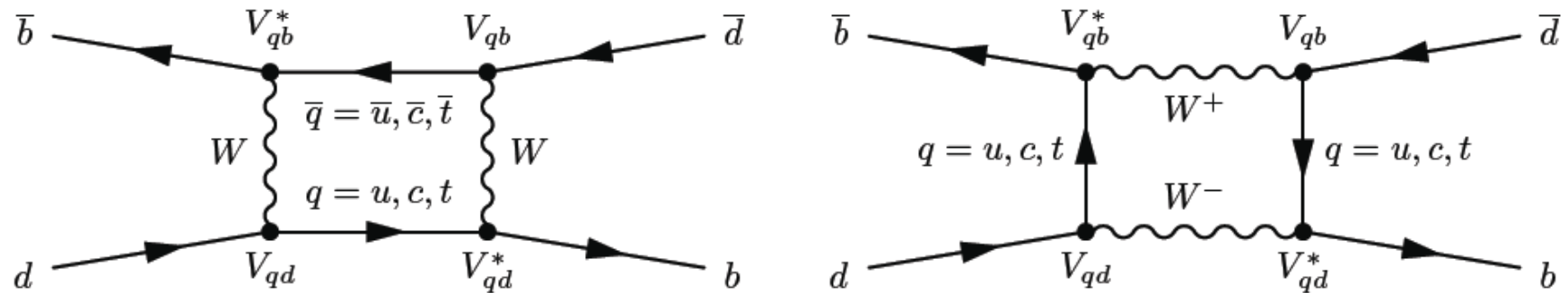
Δm and $\Delta\Gamma$ follow from the eigenvalues:

$$\Delta m + \frac{i}{2}\Delta\Gamma = 2\sqrt{\left(M_{12} - \frac{i}{2}\Gamma_{12}\right)\left(M_{12}^* - \frac{i}{2}\Gamma_{12}^*\right)}$$

$$\text{if: } \Gamma_{12} = 0 \Rightarrow \Delta\Gamma = 0, \left|\frac{q}{p}\right| = 1$$

Mixing: Box diagrams

N.B. L'accoppiamento ai vertici si ottiene attraverso la matrice CKM



$$t - \bar{t} : \quad \propto m_t^2 |V_{tb} V_{td}^*|^2 \quad \propto m_t^2 \lambda^6$$

$$c - \bar{c} : \quad \propto m_c^2 |V_{cb} V_{cd}^*|^2 \quad \propto m_c^2 \lambda^6$$

$$c - \bar{t}, \bar{c} - t : \quad \propto m_c m_t V_{tb} V_{td}^* V_{cb} V_{cd}^* \propto m_c m_t \lambda^6$$

GIM(CKM unitarity):
if u,c,t same mass, everything
cancels by construction!

Dominated by top quark mass:

$$\Delta m_B \approx 0.00002 \cdot \left(\frac{m_t}{\text{GeV}/c^2} \right)^2 \text{ ps}^{-1}$$

reference:

$\tau_B \sim 1.5 \text{ ps}$

B^0 Mixing: ARGUS, 1987

- Produce an $b\bar{b}$ bound state, $\Upsilon(4S)$, in e^+e^- collisions:

- $e^+e^- \rightarrow \Upsilon(4S) \rightarrow B^0\bar{B}^0$

- and then observe:

$$B_1^0 \rightarrow D_1^{*-} \mu_1^+ \nu_1$$

$$D_1^{*-} \rightarrow \overline{D^0} \pi_{1s}^-$$

$$\overline{D^0} \rightarrow K_1^+ \pi_1^-$$

$$B_2^0 \rightarrow D_2^{*-} \mu_2^+ \nu_2$$

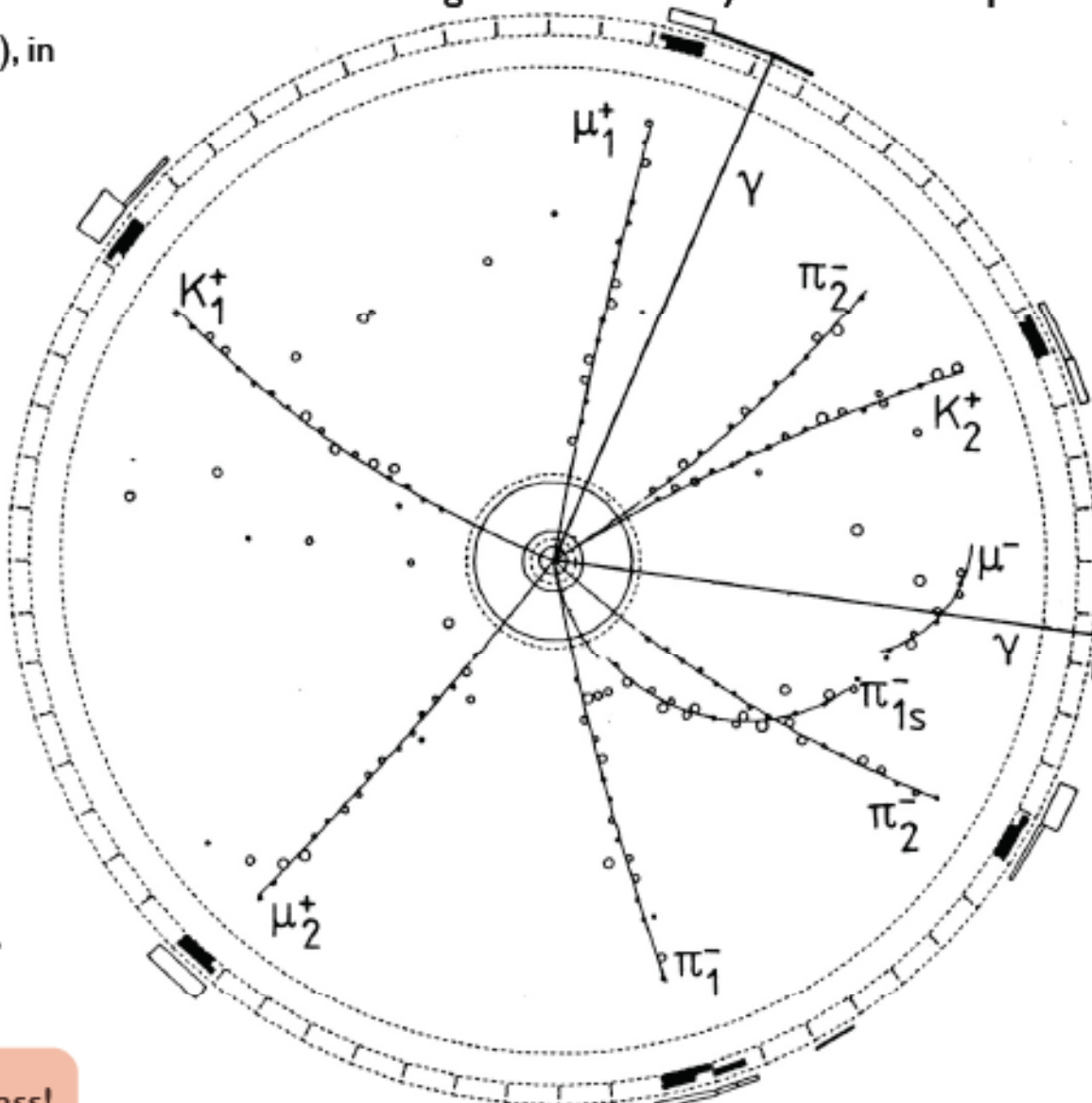
$$D_2^{*-} \rightarrow D^- \pi^0$$

$$D^- \rightarrow K_2^+ \pi_2^- \pi_2^-$$

$$\pi^0 \rightarrow \gamma\gamma$$

- measure that $\sim 17\%$ of B^0 and \bar{B}^0 mesons oscillate before they decay
- $T_B \sim 1.5 \text{ ps} \Rightarrow \Delta m_d \sim 0.5/\text{ps}$,

Integrated luminosity 1983-87: 103 pb^{-1}



First evidence of a really large top mass!

Misura della violazione di CP nei B^0 ?

- Ricordiamo la tecnica usata per misurare la violazione di CP nei K :
 1. Si ottiene un fascio puro di K_2 (questo è possibile per via della grande differenza nella vita media tra i due autostati di CP K_1 e K_2 , quindi è sufficiente avere un lungo tunnel di decadimento per la componente K_1)
 2. Si cercano decadimenti del K_2 nello stato con autovalore di CP sbagliato.
- La stessa tecnica non si può utilizzare per studiare la violazione di CP nel B , perché la vita media dei due autostati di CP è circa la stessa e quindi non c'è modo di separare le due componenti “aspettando abbastanza”.
- Occorre quindi utilizzare un altro “trucco”. Si studia l'evoluzione temporale della coppia B^0 anti- B^0 e si cercano degli osservabili che dipendono dalla violazione di CP. Ad esempio si cercano delle differenze nel rate di decadimento del B^0 e del anti- B^0 in alcuni stati finali che hanno lo stesso autovalore di CP

$$B.R.(B^0 \rightarrow f) \neq B.R.(\bar{B}^0 \rightarrow f)$$

Come si fa ad avere violazione di CP

$$B.R.(B^0 \rightarrow f) \neq B.R.(\bar{B}^0 \rightarrow f)$$

- Se l'ampiezza di decadimento contiene una fase che cambia segno per via dell'applicazione di CP, allora:

$$A = | A | e^{i\phi} \xrightarrow{CP} \bar{A} = | A | e^{-i\phi}$$

- Ma questo non è sufficiente per avere la violazione di CP, perché:

$$A^* A = | A | e^{-i\phi} | A | e^{i\phi} = \bar{A}^* \bar{A} = | A | e^{i\phi} | A | e^{-i\phi} = | A |^2$$

- Per avere violazione di CP dobbiamo avere:

- due ampiezze
- due fasi (fase debole, fase forte)
- solo una fase cambia segno sotto CP (fase debole)

$$A = A_1 + A_2 = | A_1 | e^{i\phi_w} e^{i\phi_s} + | A_2 | \quad \bar{A} = \bar{A}_1 + \bar{A}_2 = | A_1 | e^{-i\phi_w} e^{i\phi_s} + | A_2 |$$

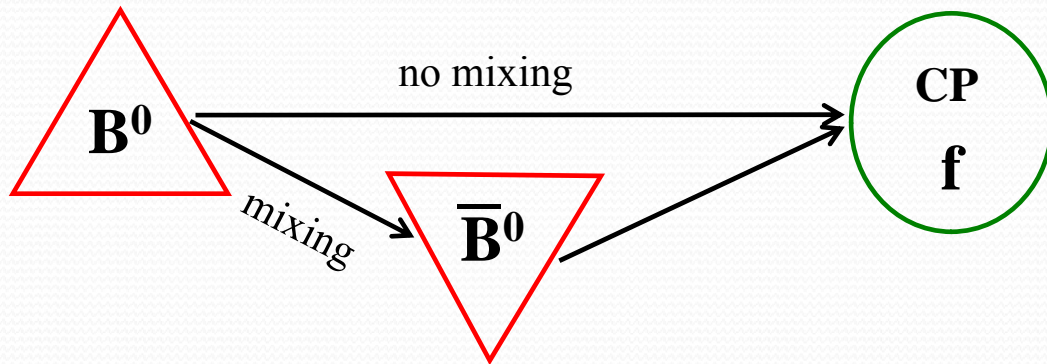
$$A^* A = | A_1 |^2 + | A_2 |^2 + 2 | A_1 | | A_2 | \cos(\phi_s + \phi_w)$$

$$\bar{A}^* \bar{A} = | A_1 |^2 + | A_2 |^2 + 2 | A_1 | | A_2 | \cos(\phi_s - \phi_w)$$

Le Γ dipendono dalle fasi relative

Violazione di CP nel mixing

- Per misurare la differenza di fase occorre ricorrere ad un fenomeno di interferenza, ad esempio il decadimento del B^0 in uno stato f con CP definita, che può avvenire direttamente oppure dal B^0 ottenuto attraverso il mescolamento B^0 –anti B^0 :



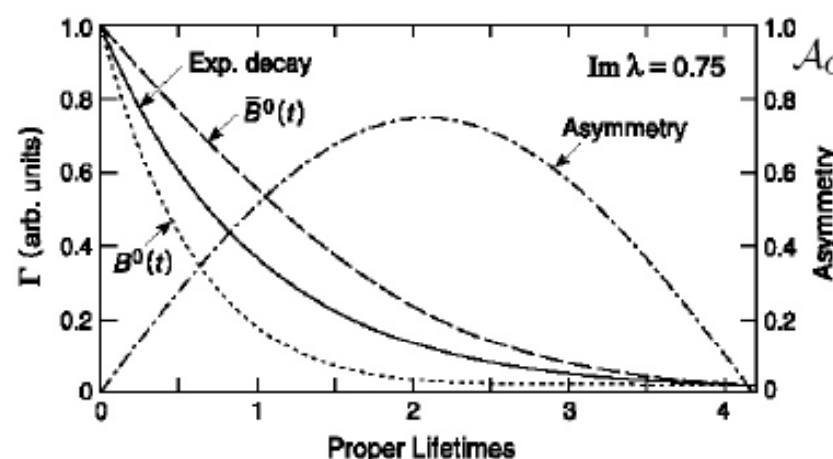
- In questo caso si hanno due ampiezze che interferiscono
- N.B. si può avere anche la violazione diretta di CP se le ampiezze di decadimento del B^0 e dell'anti- B^0 sono diverse.

Violazione di CP nell'interferenza

Interference!

$$\lambda_{fCP} = \frac{q}{p} \frac{\bar{A}_{fCP}}{A_{fCP}}$$

$t = 0$	t	Rate
$B^0 \rightarrow f_{CP}$		$\frac{1}{2} e^{-\Gamma t} \left[1 + \left(\frac{1 - \lambda ^2}{1 + \lambda ^2} \right) \cos(\Delta m t) - \left(\frac{2\mathcal{I}(\lambda)}{1 + \lambda ^2} \right) \sin(\Delta m t) \right]$
$\bar{B}^0 \rightarrow f_{CP}$		$\frac{1}{2} e^{-\Gamma t} \left[1 - \left(\frac{1 - \lambda ^2}{1 + \lambda ^2} \right) \cos(\Delta m t) + \left(\frac{2\mathcal{I}(\lambda)}{1 + \lambda ^2} \right) \sin(\Delta m t) \right]$



$$\begin{aligned} A_{CP} &\equiv \frac{\Gamma(\bar{B}^0 \rightarrow f_{CP}) - \Gamma(B^0 \rightarrow f_{CP})}{\Gamma(\bar{B}^0 \rightarrow f_{CP}) + \Gamma(B^0 \rightarrow f_{CP})} \\ &= -C_{fCP} \cos(\Delta m t) + S_{fCP} \sin(\Delta m t) \end{aligned}$$

↑ CP in decay ↑ CP in interference
 between decay and mixing

Next: find the right f_{CP} ...

Matrice CKM e violazione di CP

$$\begin{bmatrix} d' \\ s' \\ b' \end{bmatrix} = \begin{bmatrix} V_{ud} & V_{us} & V_{ub} \\ V_{cd} & V_{cs} & V_{cb} \\ V_{td} & V_{ts} & V_{tb} \end{bmatrix} \begin{bmatrix} d \\ s \\ b \end{bmatrix}$$

Gli autostati delle interazioni deboli non sono uguali agli autostati delle interazioni forti.

- Riscriviamo la matrice CKM nella formulazione di Wolfstein, utile per descrivere la violazione di CP:

$$\begin{pmatrix} d' \\ s' \\ b' \end{pmatrix} = \begin{pmatrix} 1 - \lambda^2 / 2 & \lambda & \underbrace{\begin{array}{c} V_{ub} \\ A\lambda^3(\rho - i\eta) \\ A\lambda^2 \end{array}}_{V_{td}} \\ -\lambda & 1 - \lambda^2 / 2 & 1 \\ A\lambda^3(1 - \rho - i\eta) & -A\lambda^2 & 1 \end{pmatrix} \begin{pmatrix} d \\ s \\ b \end{pmatrix} + O(\lambda^4)$$

V_{td} e V_{ub} forniscono la fase debole necessaria per la violazione di CP nei decadimenti dei mesoni B

Unitarietà della matrice: $VV^\dagger=1$

$$|V_{ud}|^2 + |V_{cd}|^2 + |V_{td}|^2 = 1$$

$$|V_{us}|^2 + |V_{cs}|^2 + |V_{ts}|^2 = 1$$

$$|V_{ub}|^2 + |V_{cb}|^2 + |V_{tb}|^2 = 1$$

$$\begin{pmatrix} V_{ud} & V_{us} & V_{ub} \\ V_{cd} & V_{cs} & V_{cb} \\ V_{td} & V_{ts} & V_{tb} \end{pmatrix}$$

The 6 complex “**Unitarity Triangles**” involve different physics processes

$$V_{us}^* V_{ud} + V_{cs}^* V_{cd} + V_{ts}^* V_{td} = 0 \quad \mathcal{O}(\lambda) + \mathcal{O}(\lambda) + \mathcal{O}(\lambda^5) = 0$$

$$V_{ub}^* V_{ud} + V_{cb}^* V_{cd} + V_{tb}^* V_{td} = 0 \quad \mathcal{O}(\lambda^3) + \mathcal{O}(\lambda^3) + \mathcal{O}(\lambda^3) = 0$$

$$V_{ub}^* V_{us} + V_{cb}^* V_{cs} + V_{tb}^* V_{ts} = 0 \quad \mathcal{O}(\lambda^4) + \mathcal{O}(\lambda^2) + \mathcal{O}(\lambda^2) = 0$$

$$V_{ud} V_{cd}^* + V_{us} V_{cs}^* + V_{ub} V_{cb}^* = 0$$

$$V_{ud} V_{td}^* + V_{us} V_{ts}^* + V_{ub} V_{tb}^* = 0$$

$$V_{cd} V_{td}^* + V_{cs} V_{ts}^* + V_{cb} V_{tb}^* = 0$$

Queste relazioni si possono rappresentare come un triangolo in un piano complesso.

‘sd’ triangle: K^0

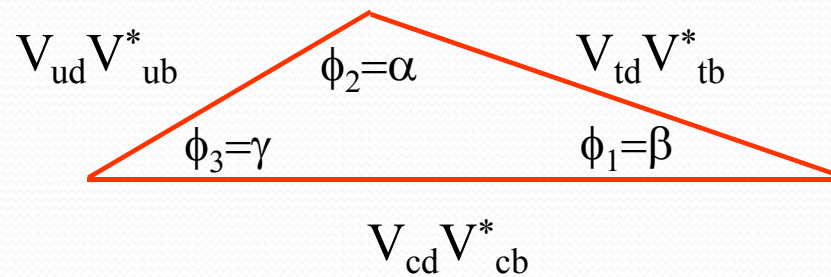
‘bd’ triangle: B^0

‘bs’ triangle: B_s

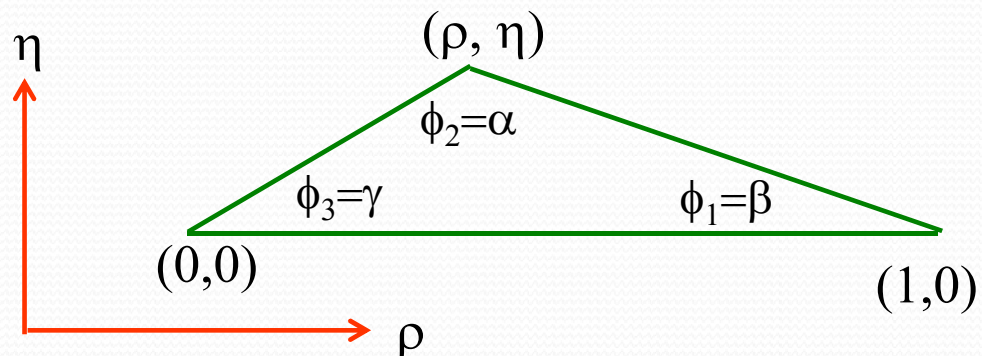
relative size of CP-violating effects

Triangolo di unitarietà

- Prendiamo il triangolo relativo ai mesoni B_d : $V_{ub}^* V_{ud} + V_{cb}^* V_{cd} + V_{tb}^* V_{td} = 0$



È conveniente normalizzare tutti i lati del triangolo di unitarietà rispetto alla base del triangolo ($V_{cd}V_{cb}^* = A\lambda^3$). Nel piano (ρ, η) il triangolo diventa:



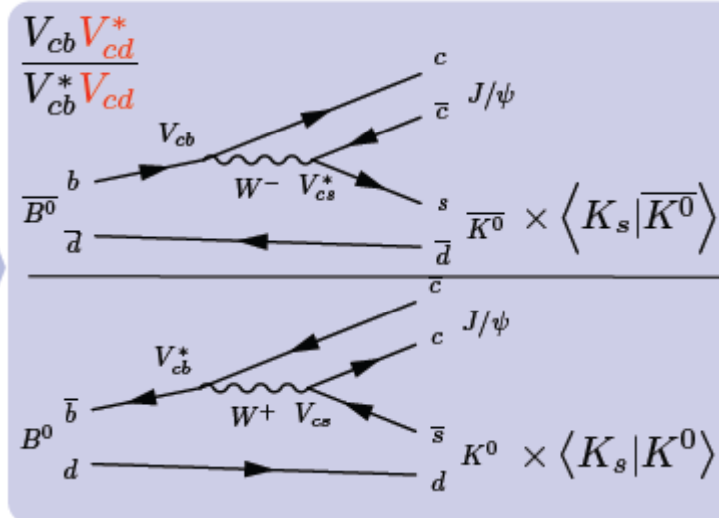
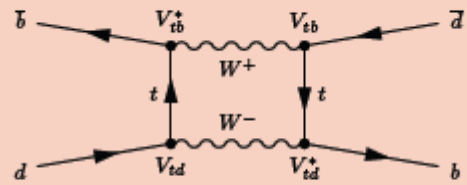
Un altro modo di verificare la violazione di CP nel sistema dei B è verificare che l'area di questo triangolo sia diversa zero.

Misurando in maniera indipendente tutti gli angoli ed i lati del triangolo, si può controllare sperimentalmente se il triangolo si “chiude”. Se così non fosse sarebbe un'evidenza di una nuova fisica non prevista dal Modello Standard.

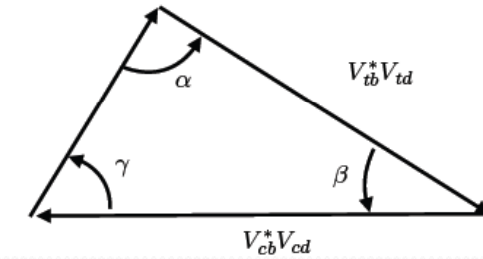
Golden channel: $B \rightarrow J/\Psi K_S$

$$\begin{aligned}\lambda_{J/\psi K_S} &\equiv \frac{q \bar{A}_{J/\psi K_S}}{p A_{J/\psi K_S}} \\ &= -\frac{q \bar{A}_{J/\psi \bar{K}^0, \bar{K}^0 \rightarrow K_S}}{p A_{J/\psi K^0, K^0 \rightarrow K_S}}\end{aligned}$$

$$\frac{V_{tb}^* V_{td}}{V_{tb} V_{td}^*}$$



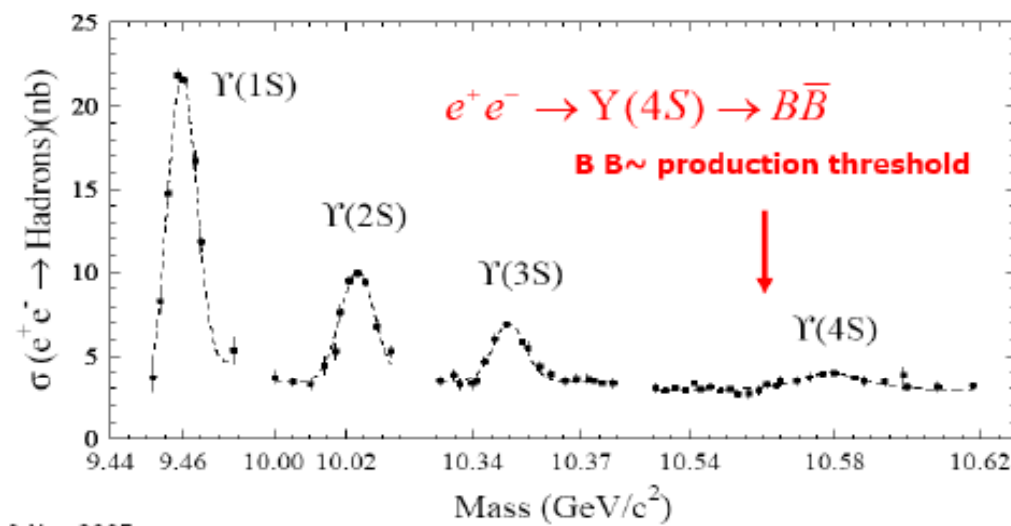
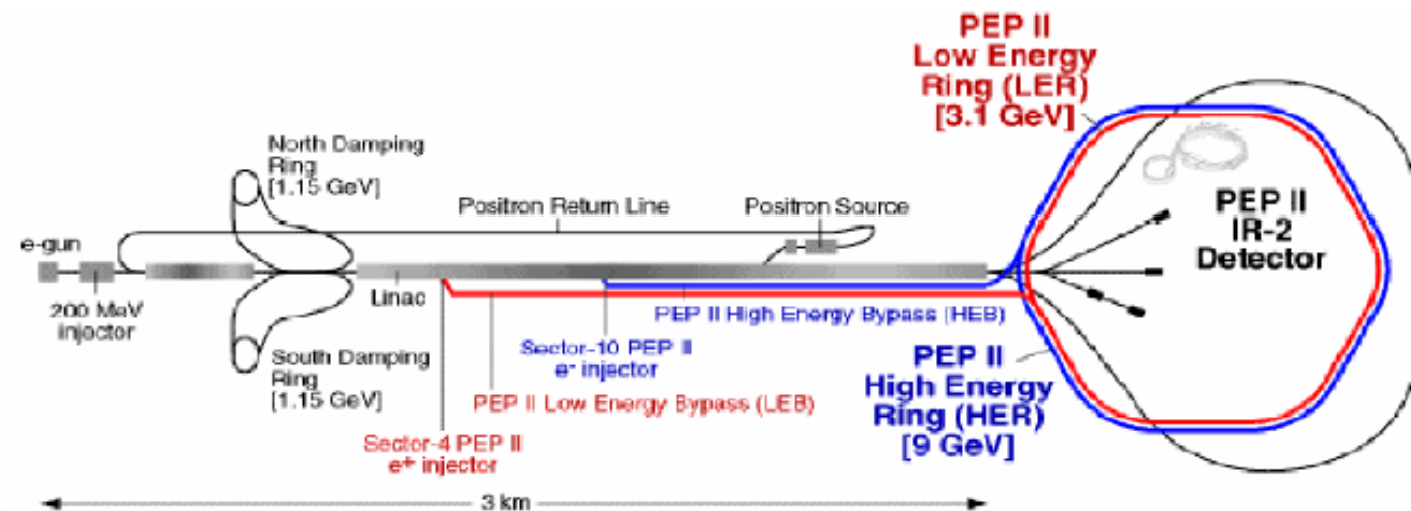
$$\lambda_{J/\psi K_S} = -e^{-2i\beta}$$



$$\mathcal{A}_{CP} = \frac{\Gamma(\bar{B}^0 \rightarrow J/\psi K_S) - \Gamma(B^0 \rightarrow J/\psi K_S)}{\Gamma(\bar{B}^0 \rightarrow J/\psi K_S) + \Gamma(B^0 \rightarrow J/\psi K_S)} = \sin(2\beta) \sin(\Delta m t)$$

Problema: come distinguere B^0 da anti- B^0 ?

PEP-II Asymmetric B-Factory at SLAC



- 9 GeV e^- on 3.1 GeV e^+
- $Y(4S)$ boost in lab frame
 - $\beta\gamma = 0.55$

Quantum Entanglement in $\Upsilon(4S) \rightarrow B^0 \bar{B}^0$ Decays

$$\begin{array}{ccc} \Upsilon(4s) & \rightarrow & B^0 \bar{B}^0 \\ \text{Spin =} & & \begin{matrix} 1 & 0 & 0 \end{matrix} \end{array} \quad \text{With } L = 1$$

- Strong interaction: CP is and flavor beauty number are conserved
 - Must have one **b** and one **anti-b** quarks in final state

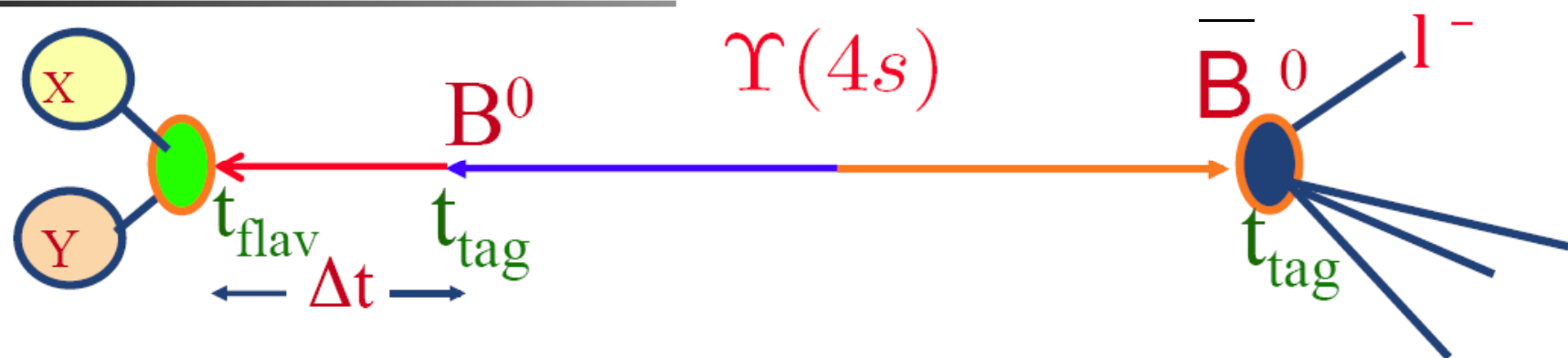
$$|B_{\text{phys}}^0 \bar{B}_{\text{phys}}^0\rangle = \frac{a}{\sqrt{2}} |B_L B_H\rangle + \frac{b}{\sqrt{2}} |B_H B_L\rangle$$

- Time evolution given by mass eigenstates

$$|B_{\text{phys}}^0 \bar{B}_{\text{phys}}^0; t_1, t_2\rangle = a e^{i\lambda_+ t_1} e^{i\lambda_- t_2} |B_L B_H\rangle + b e^{i\lambda_- t_1} e^{i\lambda_+ t_2} |B_H B_L\rangle$$

- Bose-Einstein Statistics requires wave function $|\Psi\rangle$ to be symmetric at all times
 - $|\Psi\rangle = |\Psi_{\text{flavor}}\rangle |\Psi_{\text{space}}\rangle$
- $L=-1$ implies asymmetric spatial wave function
- We need $a=-b$ which means a B^0 and a \bar{B}^0 meson at all times until one of them decays!
 - Example of Einstein-Podolsky-Rosen Paradox

Quantum Correlation at $\Upsilon(4S)$

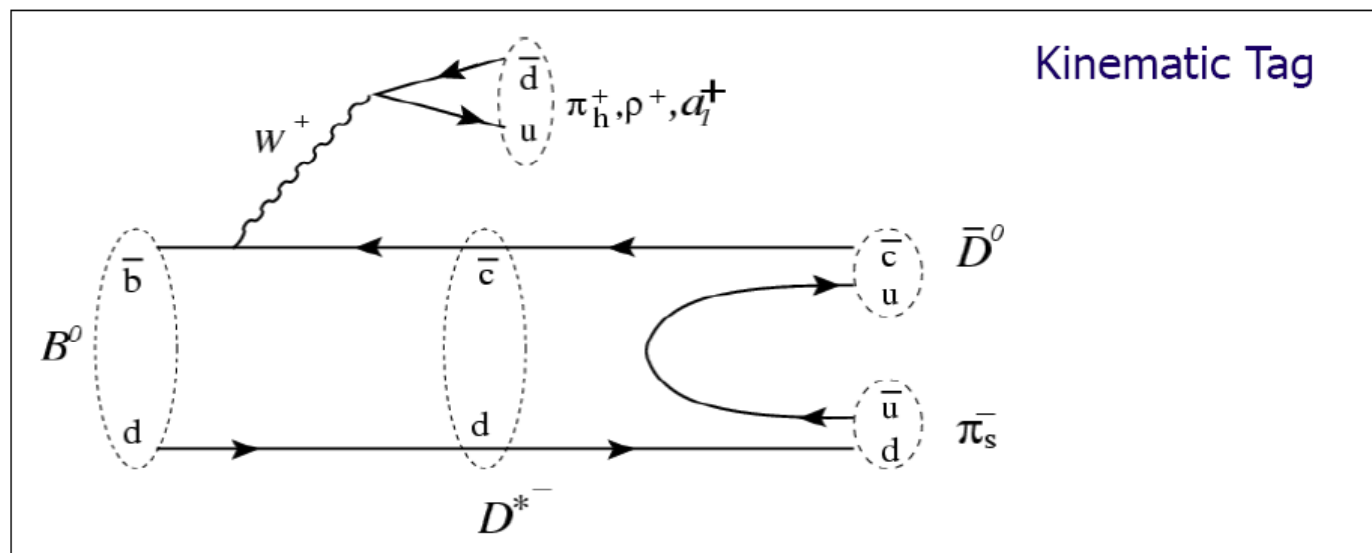
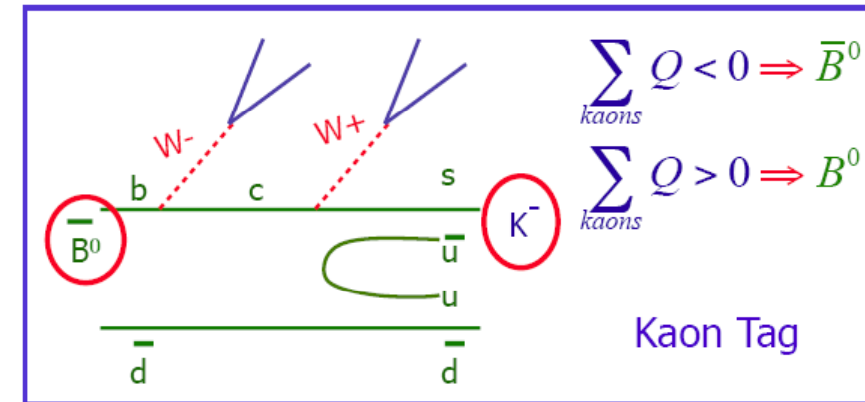
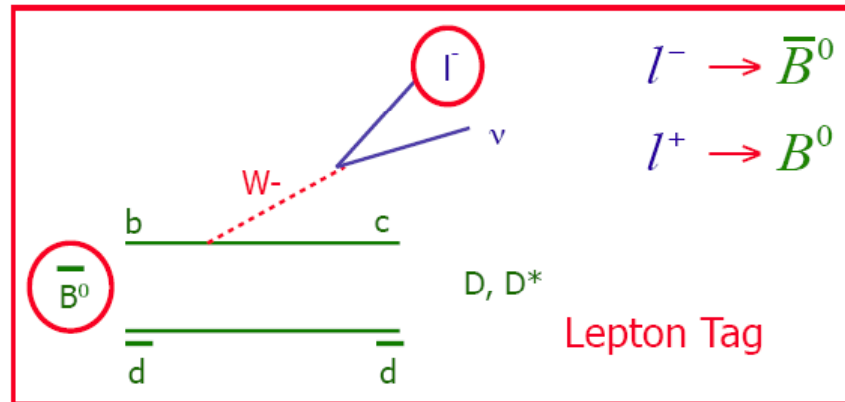


- Decay of first B (B^0) at time t_{tag} ensures the other B is \bar{B}^0
 - End of Quantum entanglement ! Defines a ref. time (clock)
- At $t > t_{tag}$, B^0 has some probability to oscillate into \bar{B}^0 before it decays at time t_{flav} into a flavor specific state
- Two possibilities in the $\Upsilon(4S)$ event depending on whether the 2nd B oscillated or not:

no oscillation/mixing $\Rightarrow B^0 \bar{B}^0$ in final state

oscillation/mixing $\Rightarrow \bar{B}^0 \bar{B}^0$ in final state

Separating B^0 and \bar{B}^0 mesons



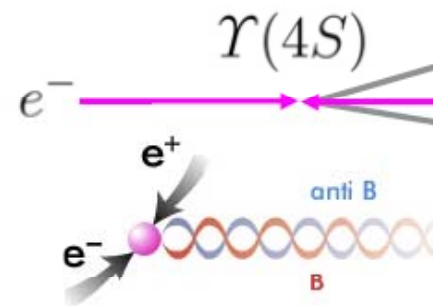
Ingredients of the measurements

PEP-2 (SLAC)

$$E_{e^-} = 9 \text{ GeV} \quad E_{e^+} = 3.1 \text{ GeV}$$

$$\sqrt{s} = 10.58 \text{ GeV}$$

$$\langle \beta\gamma \rangle_{T(4S)} = 0.56$$



$\text{rec} = \text{flav}, \overline{\text{flav}}, CP$

$$f_{\text{flav}} = D^{*-} \pi^+, \dots$$

$$f_{CP} = J/\psi K_S^0, J/\psi K_L^0, \dots$$

$\text{tag} = B^0, \overline{B}^0$

$$f_{B^0} = X \ell^+ \nu, X K^+, X \pi_s^-, \dots$$

Vertexing & Time Difference Determination

$$\Delta t \equiv t_{\text{rec}} - t_{\text{tag}}$$

B-Flavor Tagging

Exclusive B Meson Reconstruction

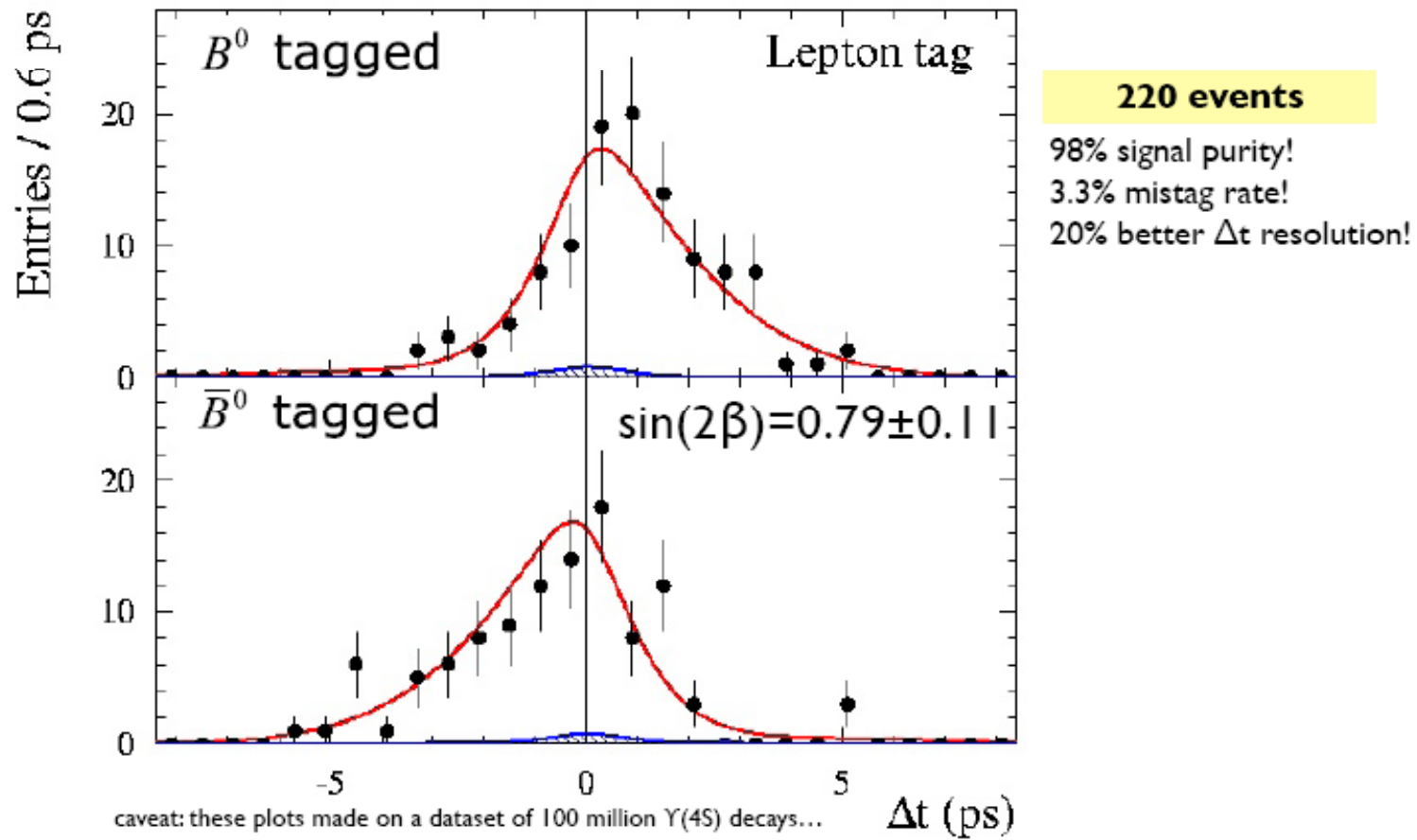
$$\Delta t \approx \Delta z / c \langle \beta\gamma \rangle_{T(4S)}$$

$$\langle \Delta z \rangle_{B\bar{B}} \approx 260 \mu\text{m}$$

Risultato:

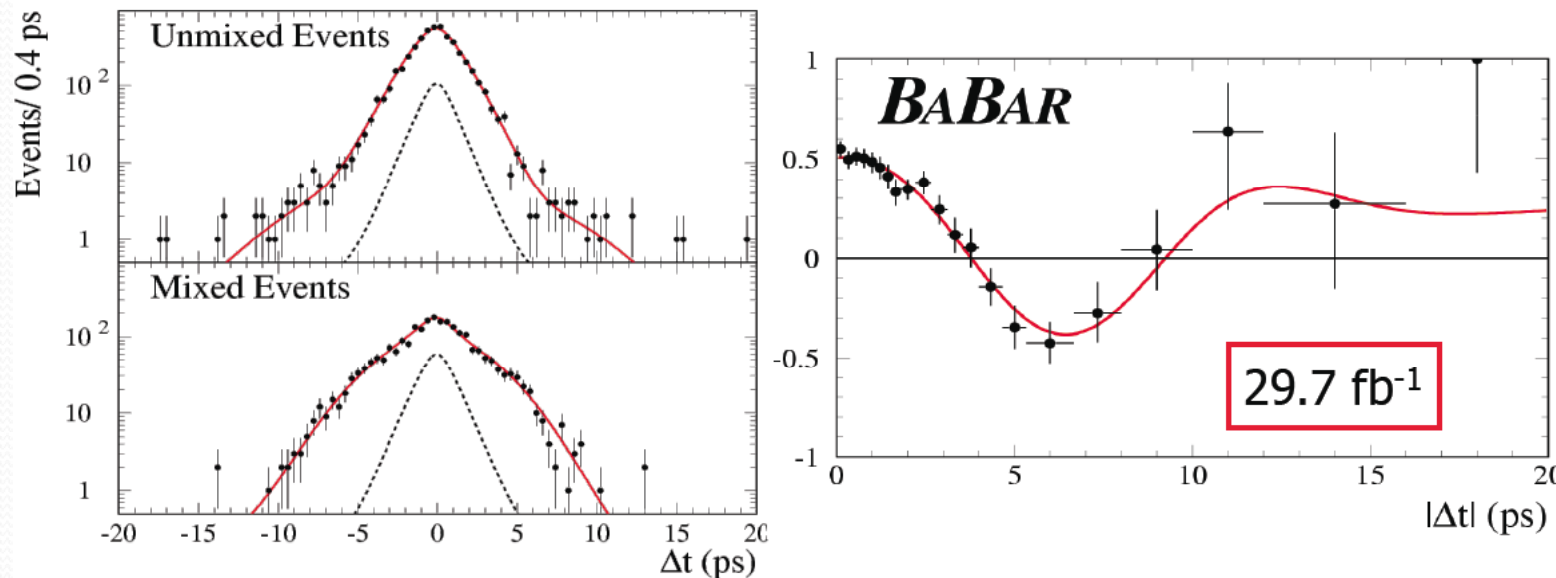
CP violation in B system!

$$e^+ e^- \rightarrow \Upsilon(4S) \rightarrow B_{\text{rec}} B_{\text{tag}}$$
$$\begin{array}{ll} B_{\text{rec}} \rightarrow & J/\psi K_S \\ B_{\text{tag}} \rightarrow & \ell^\pm X \end{array}$$



$B^0\bar{B}^0$ Mixing Fit Result

$$Asym(\Delta t) = \frac{N(unmixed) - N(mixed)}{N(unmixed) + N(mixed)} \sim (1 - 2\langle w \rangle) \times \cos(\Delta m_d \Delta t)$$

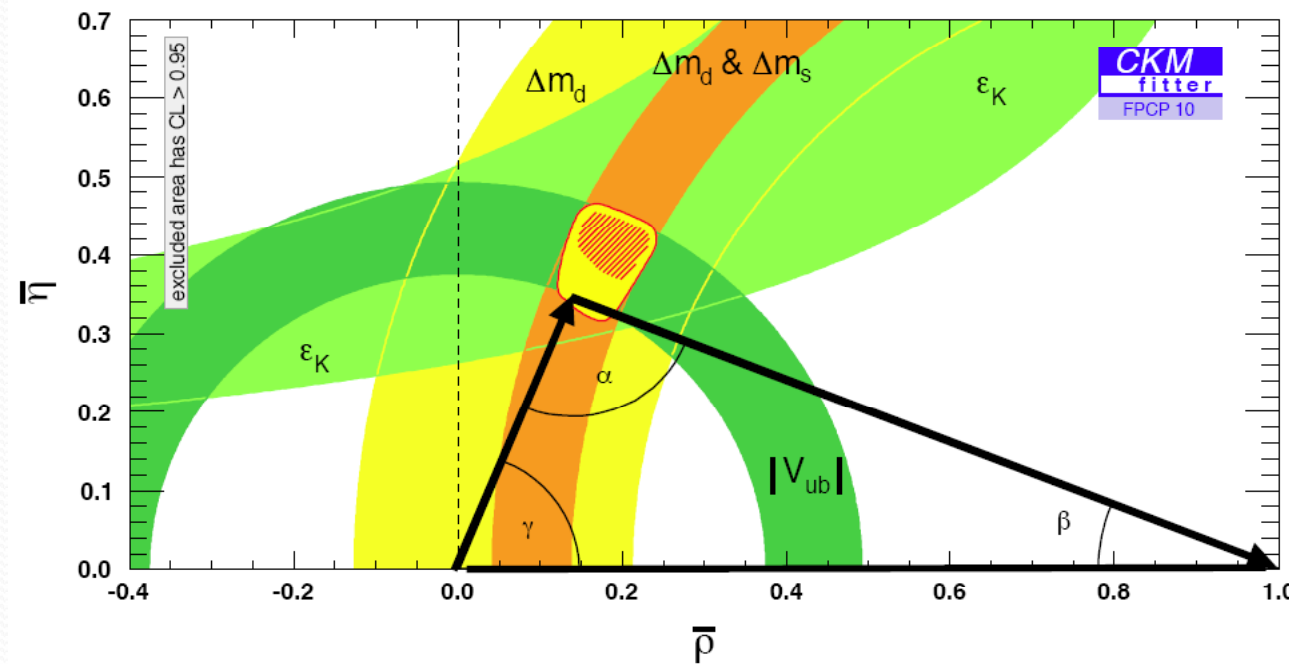


$\Delta m_d = 0.516 \pm 0.016 \text{ (stat)} \pm 0.010 \text{ (syst)} \text{ ps}^{-1}$

hep-ex/0112044
Published in PRL



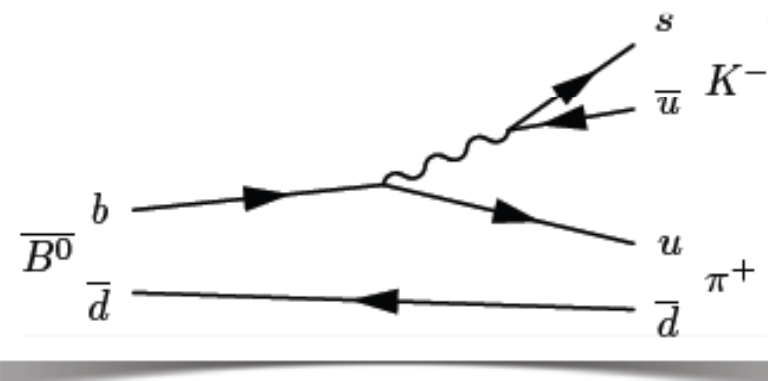
$(\bar{\rho}, \bar{\eta})$: the magnitudes and ε_K ...



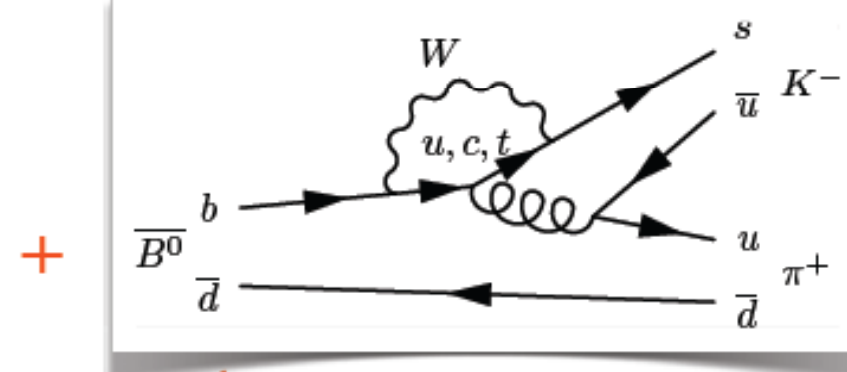
Direct CP violation: $\Gamma(\bar{B}^0 \rightarrow f) \neq \Gamma(B^0 \rightarrow \bar{f})$

needs (at least!) 2 interfering amplitudes

Amplitude I



Amplitudes 2,3 and 4...



$$A_{\bar{B}^0 \rightarrow K^- \pi^+} = V_{ub} V_{us}^* (T + P_u - P_t) + V_{cb} V_{cs}^* (P_c - P_t)$$

$$= \mathcal{O}(\lambda^4)$$

relative phase: γ

$$= \mathcal{O}(\lambda^2)$$

Now the otherwise dominant tree diagram is suppressed by λ^2 !

potentially \sim equal amplitudes with *both* different strong and weak phases !
 $\rightarrow \Gamma(B^0 \rightarrow f) \neq \Gamma(B^0 \rightarrow \bar{f})$

Observation of Direct CPV in $B^0 \rightarrow K^- \pi^+$

$$A_{K^-\pi^+} \equiv \frac{\Gamma(\bar{B} \rightarrow K^-\pi^+) - \Gamma(B \rightarrow K^+\pi^-)}{\Gamma(\bar{B} \rightarrow K^-\pi^+) + \Gamma(B \rightarrow K^+\pi^-)}$$

$$n_{K\pi} = 1606 \pm 51$$

$$A_{K\pi} = -0.133 \pm 0.030 \pm 0.009$$

$$n(B^0 \rightarrow K^+\pi^-) = 910$$

$$n(\bar{B}^0 \rightarrow K^-\pi^+) = 696$$

